

电机学

下册

吴大榕著

水利电力出版社

电 机 学

下 卷

第六章

电机学

电 机 学

下 册

吳 大 榕著

水利电力出版社

内 容 提 要

本书大体上是按照前高等教育部颁布的电机学教学大纲编写的。全书分上下两册，共有五篇。编排次序系按直流电机—变压器—感应电机—同步电机—交流换向器式电机系统。在满足基本要求的前提下，篇幅酌加压缩，适合两学期教学之用。

下册包括感应电机、同步电机和交流换向器式电机三篇，共十六章。最先叙述三相绕组和旋转磁场，故在讲授该章后，如须先授同步电机，也不致影响整个系统性。对于感应电动机的运行、特性、圆图，同步发电机的构造型式、运行特性、电枢反应、磁路等都作了较详细的研讨；最后说明各种主要交流换向器式电动机的原理和特性。

本书可作高等工业院校有关专业的教材或参考书；如章节略，也可作为中等技术学校有关专业的教学用书。

电 机 学 下 册

吴 大 熔著

*

2213D626

水利电力出版社出版（北京西郊科学路二里内）

北京市书刊出版业营业登记证字第105号

水利电力出版社印刷厂排印

新华书店科技发行所发行 各地新华书店经售

*

850×1168毫米开本 * 8号印张 * 236千字 * 定价(第10类)1.60元

1959年11月北京第1版

1959年12月北京第2次印刷(9,191—13,410册)

目 录

第三篇 感应电机

第十七章 三相繞組及旋轉磁場

- 1.交流繞組概說(285) 2.電勢星形圖(287) 3.三相單層繞組(289)
- 4.線圈中的感應電勢(291) 5.分布系數(292) 6.三相雙層繞組(294)
- 7.短距系數(296) 8.電勢中諧波的消除和減小(298) 9.單相脉動磁場(299)
- 10.三相旋轉磁場(302) 11.諧波磁場(304) 12.由不平衡三相電流所生的旋轉磁場(306) 13.三相合成磁勢的波形(309) 14.諧波漏磁通(311)

第十八章 感應電動機的構造和基本作用原理

- 1.概論(311) 2.感應電動機的構造(313) 3.鼠籠式繞組的參數(318)
- 4.基本作用原理(321) 5.功率關係(323)

第十九章 感應電動機的運行

- 1.轉子不動時的感應電動機(324) 2.感應調整器(325) 3.轉子轉動時的情況(326) 4.等值線路和矢量圖(328) 5.轉矩(331) 6.簡化等值線路(336) 7.由諧波磁場所生的附加轉矩(337)

第二十章 感應電動機的工作特性和圓圖

- 1.感應電動機的工作特性(341) 2.感應電動機的圓圖(342) 3.空載試驗和短路試驗(343) 4.圓圖的作法和各種數量的導出(344) 5.轉差率線(347) 6.各種不同的運行情況(348) 7.參數變化對圓圖的影響(349) 8.柯矢琴柯的較準確圓圖(351)

第二十一章 感應電動機的起動和速率調節

- 1.感應電動機的起動問題(352) 2.鼠籠式電動機在額定電壓下直接起動(353) 3.鼠籠式電動機的降壓起動(354) 4.繞線式電動機應用起動變阻器(359) 5.速率調節的方法(360) 6.改變供電電源的頻率來調節轉速(361) 7.改變電動機的極數來調節轉速(361) 8.改變轉差率來調節轉速(363) 9.感應電動機的串級聯接法(366) 10.深槽式電動機(368) 11.雙鼠籠式電動機(371)

第二十二章 感应电动机的特殊情况和我国制造的感应电动机

- 1. 感应发电机(373) 2. 感应电动机在不平衡电压下运行(377) 3. 单相感应电动机(379) 4. 自整角电动机(385) 5. 弧形定子(386) 6. 我国制造的感应电动机(387)

第四篇 同步电机

第二十三章 同步电机的型式和构造

- 1. 概說(390) 2. 苏联和我国制造同步发电机的发展概况(391) 3. 同步电机的基本构造型式(392) 4. 汽輪发电机的构造(394) 5. 汽輪发电机的冷却和通风(397) 6. 水輪发电机的构造型式(400) 7. 分数槽繞組(402) 8. 分数槽繞組的繞組系数(406)

第二十四章 同步电机的基本作用原理和电樞反应

- 1. 两种旋轉磁场(407) 2. 同步电抗(408) 3. 磁通波間的相对位置(410) 4. 电樞反应的去磁作用和交磁作用(412) 5. 电樞磁势波的空間組成部分的分解(415) 6. 从电樞磁势求定子磁場(416) 7. 凸极式同步电机的順軸电樞反应(419) 8. 凸极式同步电机的交軸电樞反应(421)

第二十五章 同步发电机的特性

- 1. 直軸同步电抗和交軸同步电抗(424) 2. 同步发电机的矢量图(426) 3. 同步电抗的測定(429) 4. 短路比(432) 5. 电压調整率(433) 6. 漏抗和电樞反应的分开(436) 7. 同步电机的損耗和效率(437)

第二十六章 同步电机在大容量电网上的运行；同步电动机

- 1. 隐极式同步电机的功角特性(438) 2. 凸极式同步电机的功角特性(443) 3. 静态稳定和动态稳定的概念(446) 4. 当电磁功率保持不变而激磁变化时隐极式同步电机的电流轨迹(449) 5. 同步电动机的矢量图(452) 6. 同步电机的各种运行情况(456) 7. 同步补偿机(457) 8. U形曲綫(458) 9. 同步电动机的起动(459) 10. 同步发电机的整步(461) 11. 轉移負載的方法(466)

第二十七章 同步发电机的短路

- 1. 不对称短路概說(467) 2. 逆序电抗(468) 3. 零序电抗(470) 4. 单相接地短路(471) 5. 二相短路(472) 6. 单相同步电机的电樞反应(476) 7. 突然短路概說(477) 8. 暫态电抗和次暫态电抗(479) 9. 当 $\psi_0 = 0$

- 时的突然短路电流(483) 10.当 $\psi_0 = \psi_{\mu 0}$ 时的突然短路电流(485)
 11.时间常数(487)

第二十八章 同步电机的振荡

- 1.振荡的机械模型(490) 2.振荡的基本方程式(492) 3.微振荡(494)
 4.同步电机的自由振荡(496) 5.同步电机在单独运行时的强制振荡(498) 6.同步电机接在电网上时的强制振荡(499)

第二十九章 旋转换流机

- 1.从交流到直流的变换(502) 2.同步换流机概述(503) 3.电压比和电流比(505) 4.绕组元件中的电流波(507) 5.电枢绕组中的铜耗(509)
 6.电枢反应和换向(511) 7.电压调节和起动(513) 8.双电流发电机(514)

第五篇 交流换向器式电机

第三十章 交流换向器式电动机总论

- 1.交流换向器式电动机的应用范围(515) 2.直流电枢在脉动磁场中(517)
 3.直流电枢在旋转磁场中(520) 4.交流的换向(525)

第三十一章 感应电动机和换向器式电机的串级联接

- 1.在感应电动机的转子回路中引入附加电势，转速的调节(528) 2.改善功率因数的原理(530) 3.用变频机引入附加电势(532) 4.自激进相机(534) 5.A-O-II串级系统(537) 6.电路串级和机械串级的功率分配图(539)

第三十二章 几种主要型式的换向器式电动机

(一)三相并激反馈电动机

- 1.基本构造元件和作用原理(540) 2.调速范围(543) 3.功率因数的改善(545) 4.矢量图和工作特性(546)

(二)三相串激电动机

- 5.基本作用原理(548) 6.矢量图和工作特性(550)

(三)单相串激电动机

- 7.单相串激电动机的构造特点和接线图(552) 8.矢量图和工作特性(554) 9.改善换向的方法(557) 10.万能电动机(559)

(四)推斥电动机

- 11.基本作用原理(559) 12.矢量图、等值线路和工作特性(562)

第三篇 感应电机

第十七章 三相繞組及旋轉磁場

17-1. 交流繞組概說

任何直流繞組，只要不用換向器和電刷，而在適當的地方引出分接，便可用做多相交流繞組。圖17-1表示一兩極機，有一環形繞組。電樞繞組不接到換向器和電刷，却在沿着電樞圓周等距離的地點引出三個分接1、2、3，再由分接通至外線。那麼這一繞組便成為三相交流繞組，且有網形聯接法。注意應用分接與應用電刷的不同之點在於：電刷是在空間固定不動的，分接却隨著電樞繞組一同轉動。所以在把該繞組用作交流繞組時，每相感應電勢的波形，將依磁通波的空間分布情況而定。空間磁通波的分布，通常很接近于正弦波形。這三個分接既把整個電樞繞組分成三部分，且使任何兩部分的磁軸在磁場中相距120電度，各相感應電勢間便也有 120° 的相角差，我們便得一平衡三相繞組，接成三角形。同樣，如果我們引出六個分接，各分接間相距60電度，便得一平衡六相繞組。圖17-1只表示一兩極機，設如這一機有較多的極數，則對其它各極對而言，應把該圖重複，重複的次數便等於極對數。

直流繞組都系閉合繞組，即從繞組上任一點出發，順着繞向進前，可以回到原來的出發點，自成一閉合回路。至於交流繞組，雖說閉合繞組也可應用，但在通常情況下都用開啟繞組。各相繞組都有始端和終端引至外面，且可隨意接成星形或網形。交

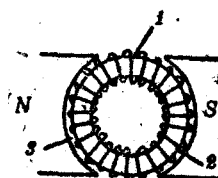


圖 17-1 簡單的直流
繞組用作交流繞組

流繞組較直流繞組為簡單，因為各個元件都不需接至換向片。一般說來，交流繞組不需分為并聯支路，只需把屬於每一相的各個導體串聯聯接即可。當電壓較高而電流較小時，可用每圈几匝的圓形繞組。當電流較大時，可用條形繞組。條形繞組即系每圈一匝的繞組。把屬於同一相的各導體串聯時，聯接的次序是无关重要的。對於圓形繞組而言，各線圈可以有相同的大小，也可有幾種不同的大小。在把條形繞組聯接時，可以用波繞法，也可用迭繞法，而以用波繞法聯接較為簡單。交流繞組可以是單層繞組，也可以是雙層繞組。同步電機及感應電機的定子一般都用雙層繞組。單層繞組應用較少，僅用于小型感應電機的定子以及繞線式感應電機的轉子。

三相繞組即系三個分別的分布繞組，每兩繞組的磁軸之間在空間相距 120° 電度。三相繞組可以接成 Y ，或接成 Δ ，或者接到一隻投開關，隨意調換成 Y 聯接或 Δ 聯接。在每一級距下的導體分為三等分，位於第一個 60° 以內的導體屬於 a 相，位於第二個 60° 以內的導體屬於 c 相，位於第三個 60° 以內的導體屬於 b 相。每相導體在極面下分布的距離，稱為相帶。我們取相帶等於 60° 。圖 17-2 表示三相繞組的分布情形。 a 相繞組從 a 出發，從 a' 回來； b 相繞組從 b 出發，從 b' 回來； c 相繞組從 c 出發，從 c' 回來。由圖可見， a 軸與 b 軸之間， b 軸與 c 軸之間，以及 c 軸與 a 軸之間，各相距 $2/3$ 級距或 120 電度。

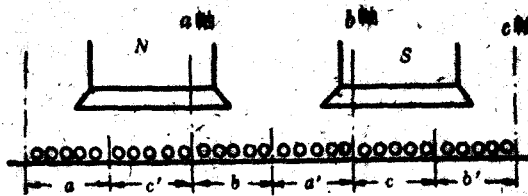


圖 17-2 三相繞組的分布情形

17-2. 电势星形图

設在每一相帶內有 q 槽，即令 q 為每極每相槽数。又設 m 為相數， α 為槽距，則有

$$\alpha = \frac{180}{mq} \text{ 电度}; \quad (17-1)$$

當 $m=3$ 時， $\alpha = \frac{60}{q}$ 电度。 $(17-2)$

α 即為位於相鄰兩槽內的導體的感應電勢間的相位差。當以上各種數值為已知時，便可據以作出電勢星形圖。

試舉一例以說明之：設有一三相四極機，共有24槽，每極每相槽数 $q=2$ ，槽距 $\alpha=30^\circ$ 。由於相帶占 60° ，每一相帶內有 2 槽。編號為 1、2、7、8、13、14、19、20 的各槽屬於 a 相，編號為 5、6、11、12、17、18、23、24 的各槽屬於 b 相，編號為 9、10、15、16、21、22、3、4 的各槽屬於 c 相。電勢星形圖如圖 17-3 所示，(a) 表示槽電勢，(b) 表示線圈電勢，(c) 表示相電勢。各相電勢組成一平衡三相系統。

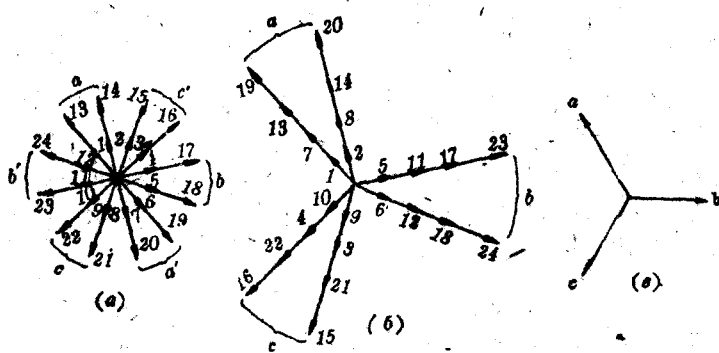


图 17-3 电势星形图

(a) 槽电势；(b) 线圈电势；(c) 相电势。

17-3. 三相单层繞組

三相单层繞組有各种不同的繞法，仍取上例的数据，即令槽数 $Z=24$ ，极数 $2p=4$ ，每极每相槽数 $q=2$ 。在图17-4中，实綫表示a相，虚綫表示b相，点綫表示c相。每相各有两个綫圈，一大一小。 A 、 B 、 C 为各相繞組的始端， X 、 Y 、 Z 为各相繞組的終端。如用Y联接法，可把 X 、 Y 、 Z 联成中点。繞組的接端部分向后弯曲在两个平面內，排列形式可取图17-7的任一种。这种繞組称为两平面繞組。电势星形圖如图17-3所示。

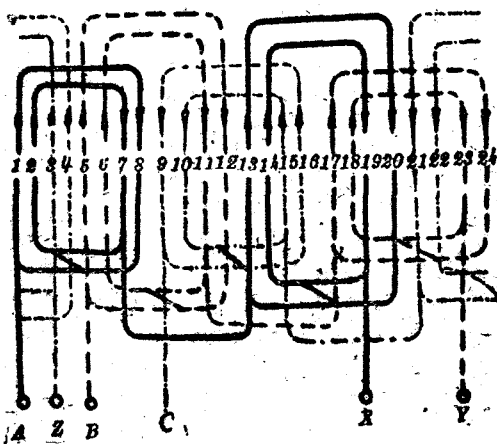


图 17-4 三相两平面单层繞組

$$p=2; q=2.$$

图17-5所示的情形为另一种繞法。此时两个相邻同相导体的端接部分向着左右两边分开。每相繞組各有4个綫圈。繞組的端接部分向后弯曲在三个平面內，排列形式可取图17-8的任一种。这种繞組称为三平面繞組。和前一种繞法比較时，这种繞組的端接部分較短，故用銅量較省，但其缺点为修理时較不方便。

为要使定子能分为两半，可用如图17-6所示的接綫图。由图可見，定子可沿 JK 綫及 LM 綫分开。这种繞組的端接部分分別

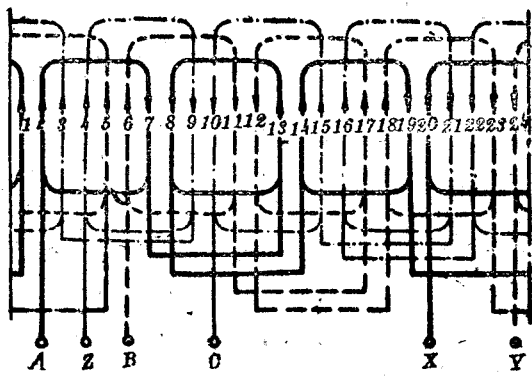


图 17-5 三相三平面单层绕组，定子不可分开

$$p=2; q=2.$$

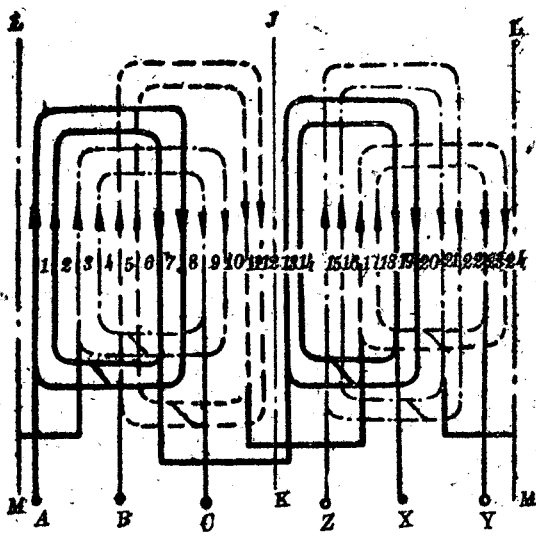


图 17-6 三相单层三平面绕组，定子可以分开

$$p=2; q=2.$$



图 17-7 两平面繞組的端接排列形式

弯曲在三个平面内，故亦为三平面繞組。繞組所用綫圈共有三种不同的大小；*A*相有两个中綫圈，*B*相和*C*相各有一个大綫圈和一个小綫圈。

如把每个綫圈的端接部分弯曲在两个平面内，则整个繞組的所有綫圈都可有相同的形状。此种繞組称为等元件圆形繞組。繞組接綫图如图 17-9 (a) 所示，端接部分的排列形式可取图 17-9 (b) 所示的任何一种。为了清晰起見，接綫图仅画一相。



图 17-8 三平面繞組的端接排列形式

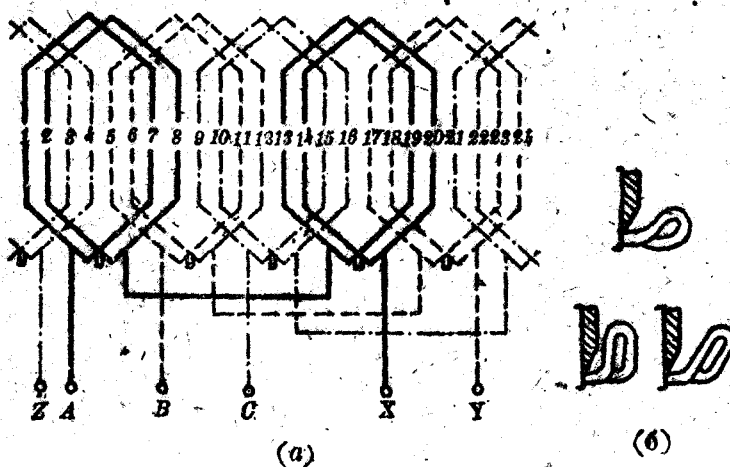


图 17-9 三相单层等元件圆形繞組

(a) 接綫圖；(b) 端接排列形式。

17-4. 線圈中的感应電勢

參看圖 17-10，設在定子圓周上有一單匝整距線圈，在轉子上有 p 對磁極，以每秒 n 轉的速率截切定子線圈。當 $t=0$ 時，在定子線圈中所連接的轉子磁通為最大。又因轉子磁通密度沿着空隙按正弦律分布，定子線圈中的感應電勢便也按正弦律對時間變化。每當轉子轉過一對磁極時，定子線圈中的感應電勢便也經過一個周期。因此，線圈中的感應電勢的頻率（每秒周期數）即等於在每秒鐘內轉過的轉子極對數。如用公式表示，即為

$$f = pn, \quad (17-3)$$

式中 p ——轉子磁極對數。

當 $t=t_1$ 時，轉子轉過的距離為 $2\pi nt_1$ 机械弧度或 $2\pi pnt_1 = 2\pi ft_1 = \omega t_1$ 电弧度，其中

$$\omega = 2\pi f, \quad (17-4)$$

即為以每秒電弧度計的轉子角速度。故在任一瞬間定子線圈中所連接的磁通為

$$\Phi = \Phi_m \cos \omega t, \quad (17-5)$$

線圈中的感應電勢便為

$$e = -\frac{d\Phi}{dt} = \omega \Phi_m \sin \omega t. \quad (17-6)$$

於是得一匝線圈的感應電勢的有效值為

$$E_{em} = \frac{\omega \Phi_m}{\sqrt{2}} = 4.44 f \Phi_m. \quad (17-7)$$

設如該線圈為一具有 w 匝的集中線圈，式(17-7)便可寫作

$$E = 4.44 fw \Phi_m. \quad (17-8)$$

式(17-8)與變壓器的感應電勢公式(12-4)相同。每一導體中的感

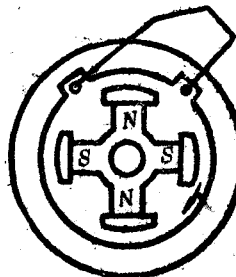


圖 17-10 轉子磁通截
切定子線圈

应电势为每匝感应电势之半，即

$$E_{np} = 2.22 f \Phi_m. \quad (17-9)$$

式中 Φ_m ——每极磁通。

假如磁通密度波的空间分布不能完全符合于正弦规律时， Φ_m 便为每极基波磁通。磁通波中的空间谐波将在线圈中感应空间谐波电势。例如，磁通波中三次空间谐波和基波相较时有三倍多的极数，按式(17-3)，感应电势的频率亦为基波频率的三倍。对于三次谐波而言，式(17-8)便如下式：

$$E_s = 4.44 (3f) w \Phi_s, \quad (17-10)$$

式中 Φ_s ——每极三次谐波磁通。其它各次谐波均仿此。

17-5. 分布系数

实用的电枢绕组都系分布绕组。相邻各匝导体中的感应电势并不同相，而将依次移过一相角，等于槽距 α 。因此，如有 w 匝导体串联，总的电势将不等于每匝电势的 w 倍，而将等于各匝电势的矢量和。也就是说，合成电势将较各匝电势直接相加时为小。或者，用另一种看法，绕组的分布好象是减少了它的有效匝数。分布绕组的感应电势，便等于相应的集中绕组的感应电势，乘上一系数。这一系数称为分布系数，它的数值依绕组的分布情况而定，它永远较一为小。

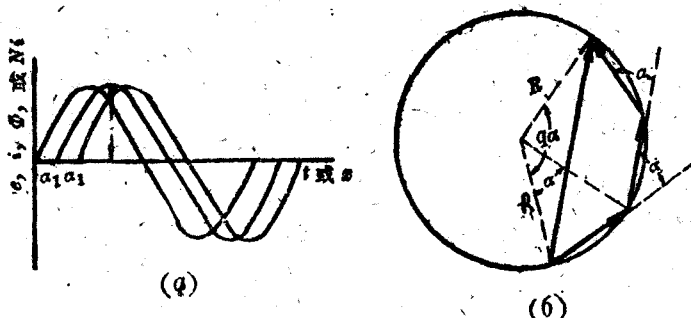


图 17-11 分布系数的推导

每匝感应电势的时间波如图17-11(a)所示。各匝感应电势波的振幅和周期都相等，它们相互之间的相角差为 α 。把这些正弦波相加时，可用图17-11(b)所示的矢量图。由于各矢量的长短都相等，且每相邻两矢量均各依次移过一相角 α ，如把 q 个矢量相加，必将构成正多边形的一部分。我们将为这一正多边形作一外接圆，并以 R 为外接圆的半径。从几何关系，可得

$$E_{sm} = 2R \sin \frac{\alpha}{2},$$

$$E = 2R \sin \frac{q\alpha}{2},$$

即有

$$E = E_{sm} \frac{\sin q\alpha}{\sin \frac{\alpha}{2}}. \quad (17-11)$$

当每匝电势均为同相时，合成电势便为每匝电势的 q 倍，故得分布系数为

$$k_p = \frac{E}{qE_{sm}} = \frac{\sin \frac{q\alpha}{2}}{q \sin \frac{\alpha}{2}}. \quad (17-12)$$

如对基波而言，相邻两导体间的相位差为 α ，则对 v 次空间谐波而言，它们之间的相位差便为 $v\alpha$ ，故得 v 次谐波的分布系数为

$$k_{pv} = \frac{\sin \frac{qv\alpha}{2}}{q \sin \frac{v\alpha}{2}}. \quad (17-13)$$

由于 k_{pv} 常较 k_p 为小，绕组的分布将使合成感应电势的时间波，比较磁通密度的空间波，更为接近于正弦波形。

在图17-11中，如横坐标改用空间角 x ，纵坐标改用磁势 F ，亦可得同样的结果。故分布系数不仅可以适用于各匝感应电势的相加，也可适用于各匝所生磁势的相加。

例 设有一均匀分布的三相绕组，试求当相带为60电度时和相带为120电度时的分布系数。

解 当繞組為均勻分布時，即假設每相槽数或導體數為無窮多時（見第2-3節）。

(1) 設相帶為60電度， $q\alpha=60^\circ=\frac{\pi}{3}$ ，

$$k_p = \frac{\sin \frac{q\alpha}{2}}{q \sin \frac{\alpha}{2}}$$

當 $q \rightarrow \infty$ 時， $\alpha \rightarrow 0$ ， $\sin \frac{\alpha}{2} \rightarrow \frac{\alpha}{2}$ ，

故得 $k_p = \frac{\sin \frac{\pi}{6}}{\frac{\pi}{6}} = \frac{3}{\pi} = 0.955$.

(2) 設相帶為120電度， $q\alpha=120^\circ=\frac{2\pi}{3}$ ，

故得 $k_p = \frac{\sin \frac{\pi}{3}}{\frac{\pi}{3}} = \frac{3\sqrt{3}}{2\pi} = 0.827$.

由此可見，三相繞組如用60電度的相帶時，有效匝數較實有匝數減少不多，而如用120電度的相帶，則有效匝數將較實有匝數減少得太多，故三相繞組的相帶，一般都用60電度。

17-6. 三相雙層繞組

雙星繞組應用很廣，和直流繞組一樣，每一槽中的上層導體必須和另一槽中的下層導體相聯。如線圈的跨距相等，則為整距繞組，如線圈的跨距較極距為小，則為短距繞組。圖17-12所示的三相雙層繞組，共有4極24槽，每極每相2槽，(a)為整距繞組，線圈跨距為6槽，(b)為短距繞組，線圈跨距為5槽或 $5/6\tau$ 。為了清晰起見，圖中只畫一相。每相共有4個線圈組。當有整距繞組時：第一線圈組為 $1-7'-2-8'$ ，右繞；第二線圈組為 $14'-8-13'-7$ ，左繞；第三線圈組 $18-19'-14-20'$ ，右繞；第四線圈組為 $3'-20-1'-19$ ，左繞。當有 $y=5/6\tau$ 的短距繞組時：第